

Jeoloji Mühendisliği Dergisi / Geological Engineering Journal

Cilt 29 Sayı 2 - 2005
Volume Number

Araştırma Makaleleri / Research Articles

- 1- Zübeyde HATİPOĞLU, Serdar BAYARI
Hidrolik İletkenlik ve Etkin Gözeneklilik Dağılımının Jeoistatistiksel Kestirimi: Mersin-Tarsus Kıyı ve Yamaç Akiferleri Örneği
Geostatistical Estimation of Hydraulic Conductivity and Effective Porosity Distribution: A Case Study of Mesin-Tarsus Coastal and Hillside Aquifers
- 10- Nihat DİPOVA
Antalya Falezlerinde Gözlenen Stabilité Problemleri
Stability Problems Observed in Antalya Tufa Sea Cliffs
- 26- Saliha SARAÇ, Ali VAN
Çambaşı (Ordu) ve Dereli (Giresun) Yörelerindeki Skarn Yataklarının Karşılaştırmalı Kimyasal ve Mineralojik Özellikleri: Doğu Pontid Kuzey Zonu (KD Türkiye)
Comparative Mineralogical and Chemical of Çambaşı (Ordu) and Dereli (Giresun) Areas Skarn Deposits: Northern Zones of Eastern Blacksea (NE Turkey)
- 44- Levent AKDUMAN, Yasemin LEVENTELİ, Özgür YILMAZER, İlyas YILMAZER,
Seldanınakhk-Sekileştirme-Enerji Sistemi: Başkale-Van
Artifical Dyke-Terrace-Energy System: Başkale-Van
- 53- Nihat DİPOVA, Mustafa YILDIRIM,
Antalya Tufa Platolarının Oluşumu ve Jeomorfolojik Özellikleri
Origin and Geomorphological Properties of Antalya Tufa Plateaus

Hidrolik İletkenlik ve Etkin Gözeneklilik Dağılımının Jeoistatistiksel Kestirimi: Mersin-Tarsus Kıyı ve Yamaç Akiferleri Örneği

*Geostatistical Estimation of Hydraulic Conductivity and Effective Porosity Distribution:
A Case Study of Mersin-Tarsus Coastal and Hillside Aquifers*

*Zübeyde HATİPOĞLU, **Serdar BAYARI

*Mersin Üniversitesi, Jeoloji Mühendisliği Bölümü, Çiftlikköy, 33342 Mersin
(e-posta: zubeyde@mersin.edu.tr)

**Hacettepe Üniversitesi, Jeoloji Mühendisliği Bölümü, Beytepe, 06532 Ankara
(E-posta: serdar@hacettepe.edu.tr)

ÖZ

Bir akiferde hidrolik iletkenlik ve etkin gözeneklilik dağılımının güvenilir biçimde belirlenmesi yeraltısuyu sondajlarının yüksek verimliliğe sahip nokta ve derinliklerde açılması açısından önemlidir. Çalışma kapsamında, delta-kıyı ovası karışımından oluşan bir çökel ortamını yansitan Mersin-Tarsus kıyı ve yamaç akiferlerinde hidrolik iletkenlik ve etkin gözeneklilik dağılımı üç boyutlu kriging yöntemi ile tahmin edilmiştir. Kestirilen ve gözlenen değerler arasında elde edilen yüksek derecedeki uyum, oluşturulan jeohidrolojik parametre dağılım modelinin sondaj yeri ve derinliği seçiminde güvenle kullanılabilceğini göstermektedir. Yüksek hidrolik iletkenlik ve efektif gözeneklilik değerlerinin akarsu yatakları dolayında, düşük değerleri ise akarsulardan uzak taşkın alanlarında belirlenmiştir.

Anahtar kelimeler: hidrolik iletkenlik, jeoistatistik, kriging, Mersin, porozite

ABSTRACT

Reliable estimation of three dimensional hydraulic conductivity and effective porosity in an aquifer is particularly important to determine the site and depth of groundwater production wells. Three dimensional distribution of hydraulic conductivity and effective porosity in Mersin-Tarsus hillside and coastal aquifers that characterize delta-flood plain sedimentary system, was estimated by means of block kriging method. Validity of models in selecting appropriate drilling sites was demonstrated by the high correlation obtained between observed and calculated values. High and low values of hydraulic conductivity and effective porosity are observed in close proximity of streams and distal fields, respectively.

Key words: hydraulic conductivity, geostatistics, , kriging, Mersin, porosity

GİRİŞ

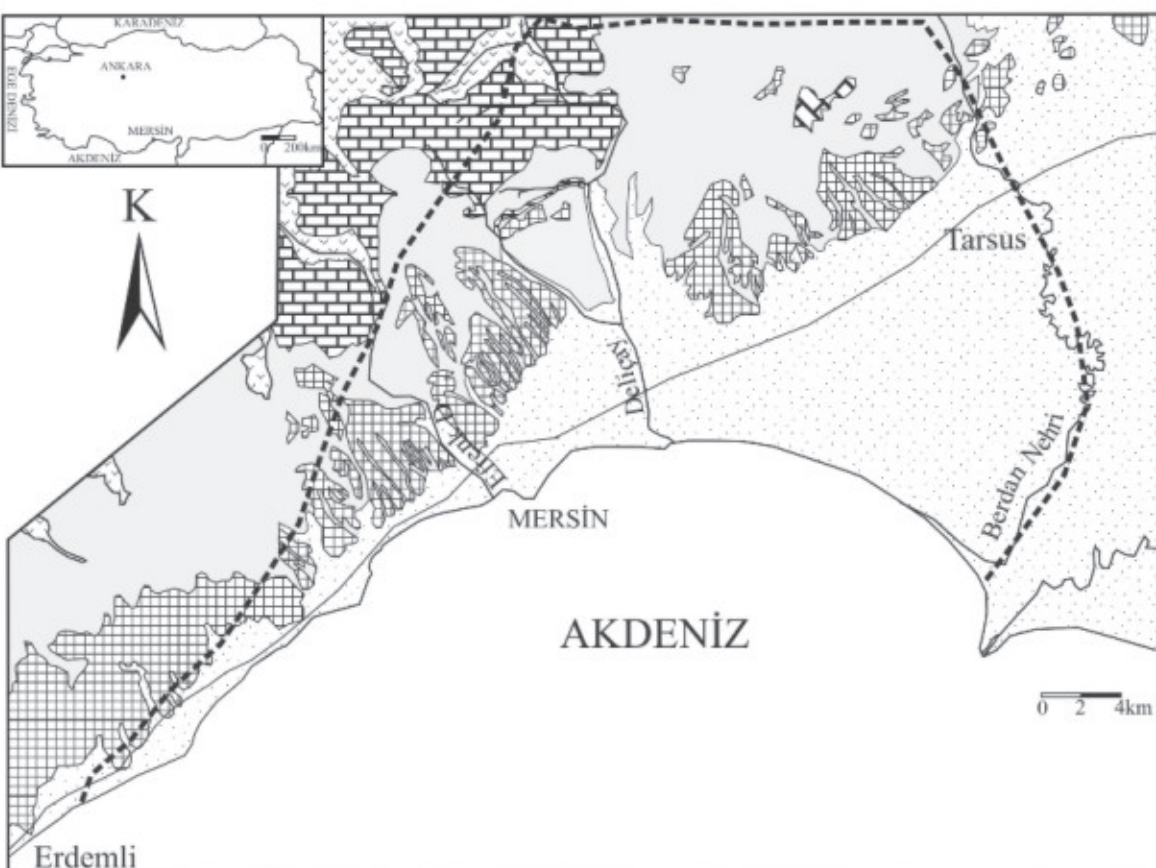
Yeraltısu üretimi açısından önem taşıyan hidrolik iletkenlik (K_h), etkin gözeneklilik (n_e), depolama katsayısı ve iletimlilik gibi jeohidrolojik parametrelerin akifer içindeki dağılımı genellikle oldukça değişkendir. Diğer yandan, bu parametrelerin üç boyutlu dağılımın bilinmesi gerek verimli sondaj konum ve derinliklerinin belirlenmesi ve gerekse güvenilir yeraltısu akım modellerinin oluşturulması açısından büyük önem taşımaktadır. Delta ve kıyı-taşkın ovası gibi karmaşık çökel ortamlarında oldukça heterojen bir dağılım gösteren söz konusu parametrelerin mekansal dağılımının güvenilir biçimde belirlenmesi ise oldukça güçtür. Bu amaçla elektrik, elektromanyetik ve sismik vb. tekniklere dayalı jeofizik yöntemlerden yararlanması mümkün olmakla birlikte, özellikle geniş alanlarda anılan yöntemlerin uygulanması oldukça maliyetli ve zaman alıcı olmaktadır. Buna karşılık, ortamı tanımlamak üzere yeterli miktarda verinin mevcut olması durumunda, bu verilerden itibaren jeoistatistik teknikleri kullanılarak jeohidrolojik parametrelerin üç boyutlu dağılımı hızlı, ucuz ve güvenilir biçimde belirlenebilmektedir.

Konumun birer fonksiyonu olan jeohidrolojik parametrelerin mekansal dağılımı oldukça değişken olmakla birlikte tamamen rastlantısal değildir. Genellikle, farklı noktalarda yapılan ölçümlerden, birbirine yakın mesafede olanların değerleri birbirine yakındır (Marsily, 1986). Bu tür parametrelerin değişimi belli bir bölgeye ait olmaları ve konuma bağlı olarak ifade edilmeleri nedeniyle bölgesel değişkenler olarak tanımlanabilmektedir. Bir

değişkenin bilinmeyen noktalardaki değerinin hesaplanması, değeri bilinen noktalar yardımıyla yapılır ve bu işlem kestirim olarak tanımlanır (Tercan, 1996).

Bu çalışma kapsamında Mersin-Tarsus bölgesinde açılmış bulunan derin yeraltısu üretim kuyularına ait veriler kullanılarak hidrolik iletkenlik (K_h) ve etkin gözeneklilik (n_e) değerlerinin üç boyutlu dağılımı kestirilmiştir. Bölgede uzun yıllar boyunca çeşitli kurumlar ve şahıslar tarafından açılan pek çok kuyu bulunmaktadır. Ancak bu kuyuların genellikle K_h ve n_e ölçümleri yapılmamıştır. Bu nedenle K_h ve n_e kestirimlerinde girdi verisi olarak mevcut kuyu litoloji loglarında tanımlanan birimlerin literatürde belirtilen K_h ve n_e değerleri kullanılmıştır. Üretilen K_h ve n_e veri setleri ile GSLIB (Deutsch ve Journal, 1998) yazılımı kullanılarak jeoistatistik modeller oluşturulmuştur. Bu modellerin parametreleri ile üç boyutlu kriging kestirimleri yapılmıştır.

Çalışma alanı Mersin il sınırları içinde, Elvanlı-Tarsus yerleşimleri arasında $34^{\circ}20'$ ile $34^{\circ}57'$ boylam ve $36^{\circ} 38'$ ile $37^{\circ}00'$ enlemleri arasında uzanan yaklaşık 750 km^2 'lik bir alanı kapsamaktadır (Şekil 1). İnceleme alanı Toroslar ile Akdeniz arasında geniş bir kıyı-yamaç akiferi oluşturmaktadır. Toroslar ile deniz arasında kıyı düzluğu batıdan doğuya doğru genişlemektedir. Delta-taşkın ovası karakterindeki bir çökel ortamını yansitan bu alanda halen kuzeybatı-güneydoğu uzanımlı 7 akarsu bulunmakta olup, kıyı akiferi bu akarsular ve bunların öncülleri tarafından oluşturulmuştur.



AÇIKLAMALAR

Zaman Devir

	Kuvaterner	Alüvyon
Senozoyik	Tersiyer	Kaliş
		Güvenç, Kuzgun, Handere Formasyonları (kumtaşı, konglomera, kireçtaşısı, kilitaşı, marn, silttaşısı)
Mesozoyik	Kretase	Karaçalı Formasyonu (kireçtaşısı)
	Jura	Ofiyolitik melanj
Paleozoyik	Permiyen	Karahamzauşağı Formasyonu (kireçtaşısı, mermer, dolomit, şist)
	Karbonifer	Yol
		Çalışma alanı sınırı

Şekil 1. İnceleme alanı ve jeolojisi haritası (Şenol vd., 1998'den değiştirilerek alınmıştır).
Figure 1. Location and geology map of the study area (Modified from Senol et al., 1998).

JEOLOJİ ve HİDROJEOLOJİ

Bu çalışmada kullanılan jeolojik birimlere ait bilgiler Şenol vd. (1998)' den derlenmiştir. Mersin-Tarsus Kıyı akifer sistemi ile bu akifer sisteminin drenaj alanında yer alan jeolojik birimler, Toros Dağ Oluşum Kuşağının, Ecemış Fayı güneydoğu kesiminde yer alır ve bu kuşağın jeolojik özelliklerini taşır. Temelde Paleozoyik yaşılı metamorfiklerden oluşan Karahamzauşağı Formasyonu bulunur. Üst Kretase döneminde bölgeye yerleşen ofiyolitik melanj bölgenin kuzeybatı kesiminde yüzeylenmektedir. Bunlar üzerine Oligosen-Miyosen-Pliyosen döneminde karasal, geçiş ve denizel ortam çökellerinin oluşturduğu Karaisalı, Güvenç, Kuzgun ve Handere Formasyonları yer almaktadır. Çalışma alanının güney kesiminde Kuvaterner yaşılı karasal ve geçiş ortamı çökelleri ile morfolojik birimler yaygındır. Bunlardan geçiş ortamını temsil eden Kuvaterner yaşılı delta çökelleri en geniş yüzey alanına sahip birimdir (Şekil 1).

İnceleme alanı hidrojeolojik açıdan iki bölüme ayrılmaktadır. Bunlar; kuzey kesimde genel olarak güneydoğuya eğimli sedimanter kayaçların bulunduğu Yamaç akiferi ve güneyde yüzey alanı doğrudan batıya azalan alüvyon malzemenin oluşturduğu Kıyı akiferidir (Hatipoğlu, 2004). Yamaç akiferinin bulunduğu kesimde litoloji genel olarak sedimanter kayaçların ardalanmasından oluşmaktadır. Bölge tek tür kaya tipinin hakimiyetinden çok kumtaşı, kireçtaş, konglomera, silt, marn ve kilit taşı ardalanmasından oluşmaktadır. Bu nedenle Yamaç akiferinin bulunduğu alanlar genel olarak yeraltı suyu açısından düşük verimli yerel akiferlerden oluşmaktadır. Yüksek verimli Kıyı akiferi ise bir delta-kıyı ovası ortamında temsil edilmektedir. Bu ortam, akarsularca taşınan çökellerin düşük enerjili kıyı-delta ortamında depolanması ile oluşturulmuştur. Taşınan malzemenin miktarı, boyutları ve taşınabildiği mesafe iklim, akarsu rejimi, yapısal davranış ve

kayı işlevleri ile yakından ilgili olduğundan delta ortamları genellikle heterojenite ve çökel birimleri arasındaki karmaşık yapı ile tipiktirler (Reineck ve Singh, 1973).

TEORİ

Variogram Fonksiyonu

Bölgesel değişkenin (örn: K_h , n_e) değerleri arasındaki farkın uzaklığına bağlı değişimleri jeoistatistikte variogram fonksiyonu ile tanımlanır. Variogram fonksiyonu varyansın uzaklığına bağlı değişimini gösteren bir fonksiyondur ve aşağıdaki eşitlik ile tanımlanır (Tercan ve Sarac, 1998):

$$2\gamma(h) = \text{Var}(Z_i - Z_{i+h}) = \frac{1}{n(h)} \sum (z_i - z_{i+h})^2$$

$2\gamma(h)$: variogram fonksiyonu,

Z : incelenen değişken

$n(h)$: h uzaklığındaki veri çifti sayısı

h : uzaklık,

Z_i : değişkenin aldığı değerleri

Variogramın orijine yakın davranışını bölgesel değişkenin sürekliliği ile ilgili bilgi verir. Parabolik şekil düzenli değişim bir özelliği, doğrusal şekil bölgesel değişkenin sürekli artması veya azalmasını gösterirken, orijindeki süreksızlık ise ölçüm hataları veya küçük ölçekli değişimleri belirler. Örneklemeye noktaları arasında birbirine en yakın iki örneğin uzaklığı, değişimin belirlenebileceği en küçük uzaklıktır. Bu uzaklıktan daha küçük uzaklıklarda, değerler arasındaki farkın değişimini belirlenemez. Bu durum variogramın orijininde sıfırdan farklı pozitif bir değer alınmasına neden olur. Variogramda bu durum külçe etkisi olarak tanımlanır (Tercan ve Sarac, 1998). Bölgesel değişkenin belirli uzaklıklar için belirlenen deneysel variogramına bir fonksiyon uyarlanarak bütün uzaklıklar için variogram belirlenir.

Kriging Kestirimi

Kriging bölgesel değişkenin, örnekleşmeyen noktalarda büyülüğünün belirlenmesi için varolan verilerin ağırlıklı ortalamasının kullanıldığı bir yöntemdir. Ağırlıklar yansızlık ve en küçük varyans kriterleri sağlanarak oluşturulan doğrusal denklem sisteminin çözümü ile bulunur (Tercan ve Sarac, 1998).

$$z^*(x_0) = \sum_{i=1}^n \lambda_i z(x_i)$$

$z^*(x_0)$: x_0

$z(x_i)$: : noktasında kestirilen değer

λ_i : kestirimde kullanılan veriler

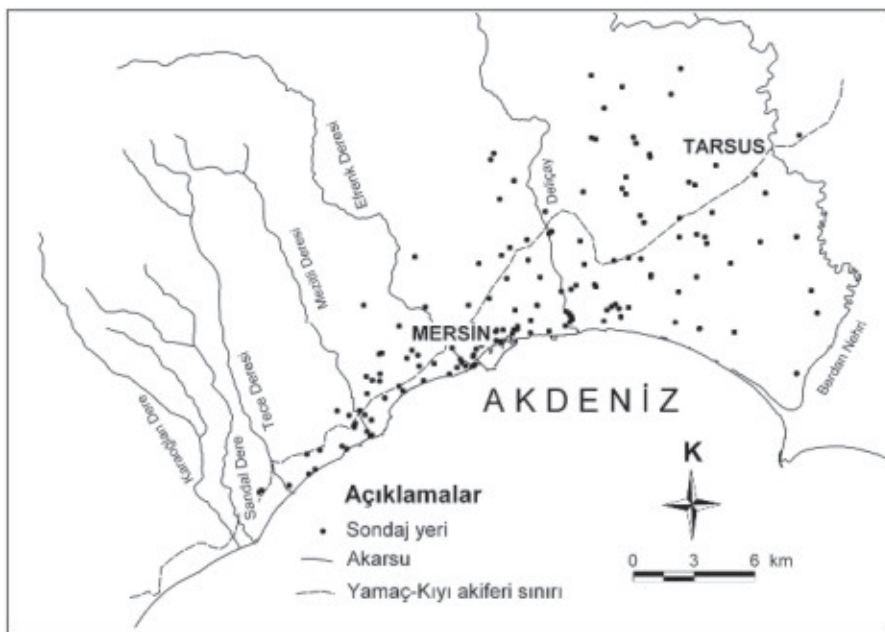
Kestirimde kullanılacak verilere atanacak değerler

Blok kriging kestiriminde ise bölgesel değişkenin tek bir noktadaki değeri değil, belirli bir hacim için ortalama değeri hesaplanmaktadır (Ouyang, vd., 2003).

VERİ KAYNAKLARI VE KALİTESİ

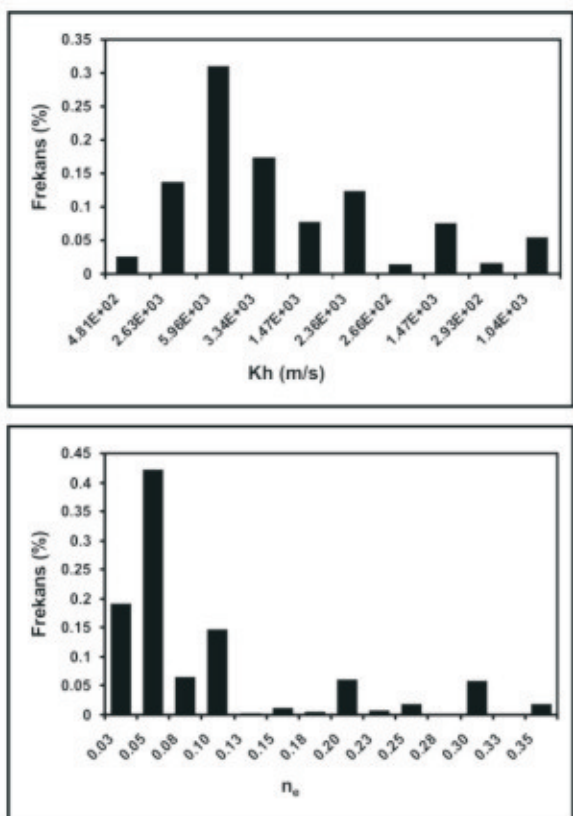
Mersin-Tarsus Kıyı akiferinin Kh ve n_e dağılımının belirlenmesinde 194 adet sondaj logu kullanılmıştır (Şekil 2). Sondajların yayıldığı alan yaklaşık 750 km^2 ve en derin sondaj 299 m'dir. Sondajlar 1957-1997 yılları arasında farklı kurum ve kişiler tarafından açılmış, sondaj sırasında geçen birime ait tanım ve özellikler sondajı açan kişi tarafından nitel olarak belirlenmiş ve sondaj loguna işlenmiştir. Çalışma kapsamında sondajlara ait litoloji logları 1 m'lik parçalara bölünmüştür ve her bir aralığa ait litolojik birim için literatürden belirlenen Kh ve n_e değerleri atanmıştır. Oluşturulan veri setine, ilgili noktaya ait x , y , z değerleri eklenmiştir. Çeşitli birimler için atfedilen Kh ve n_e değerleri sırasıyla Çizelge 1'de verilmiştir.

Elde edilen Kh ve n_e verilerine ait histogramlar sola çarpık bir dağılım göstermektedir (Şekil 3). Kh verilerinin varyansı 4.6×10^{-5} , ortalaması 1.7×10^{-3} ; n_e verilerinin varyansı 0.0073 ve ortalaması 0.08 olarak hesaplanmıştır.



Şekil 2. Sondaj noktaları haritası.

Figure 2. Map of the drillholes



Şekil 3. Kh ve n_e verilerine ait histogramlar.
Figure 3. Histograms of Kh and n_e data.

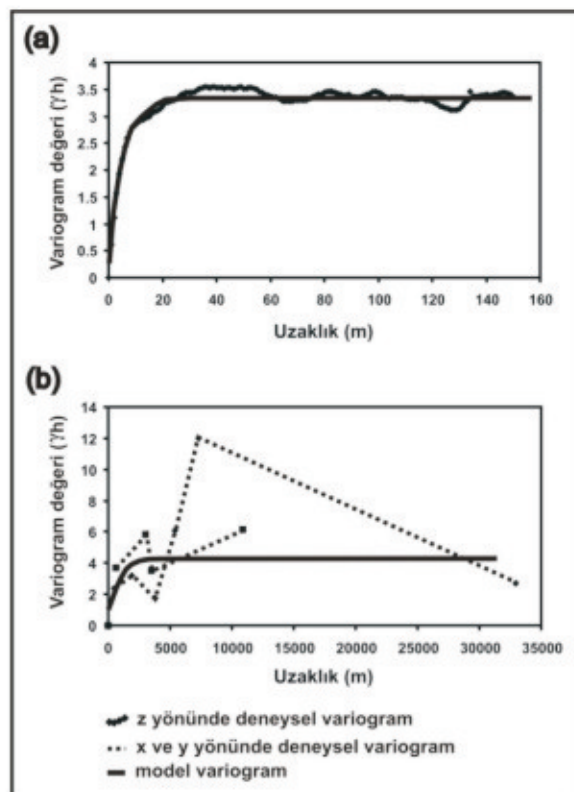
Çizelge 1. Veri setinde kullanılan bazı birimlere ait Kh ve n_e değerleri.

Table 1. Kh and n_e values for some units using in data set

Birim	Kh Literatür Değeri*	Kullanılan Kh Değeri (m/s)	n _e Literatür Değeri**	Kullanılan n _e Değeri
Çakıl	3×10^{-4} - 3×10^{-2}	3×10^{-2}	0.15-0.37	0.3
Kum	9×10^{-7} - 6×10^{-3}	5×10^{-4}	0.08-0.40	0.35
Silt	1×10^{-9} - 2×10^{-5}	1×10^{-7}	0.004-0.05	0.04
Kil	1×10^{-11} - 2×10^{-9}	5×10^{-9}	0.007-0.05	0.03

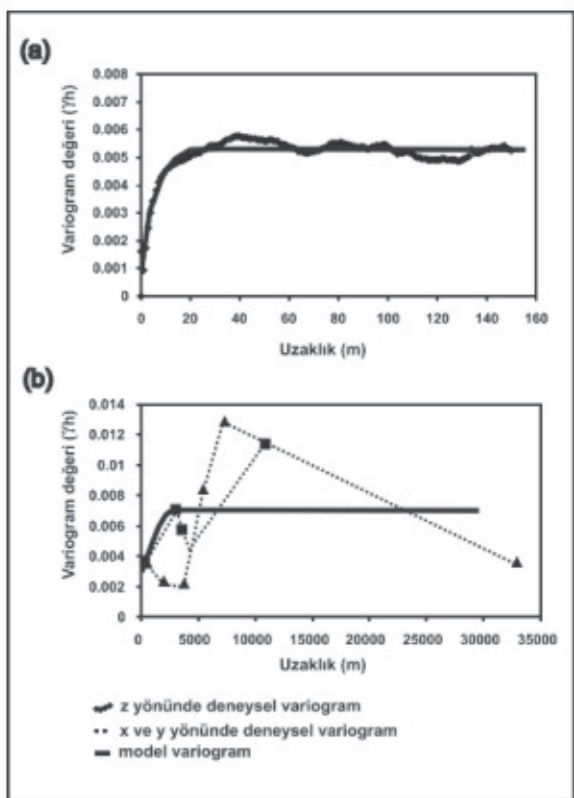
DENEYSEL VARIOGRAM VE VARIOGRAM MODELİ

Kh ve n_e veri seti ile x, y, z yönlerinde deneysel variogramlar hesaplanmıştır. Kh değerinin çok geniş bir değer aralığına yayılması nedeniyle logaritmik dönüşüm yapılmıştır. Variogramın hesaplanması ve kriging kestirimi aşamalarında dönüştürülmüş değerler kullanılmış ve kestirilen bu değerlere geri dönüşüm uygulanmıştır. Kh ve n_e için düşey yönde hesaplanan variogramlar 20 m civarında bir yapısal uzaklığa sahiptir (Şekil 4a ve 5a). Yatay yöndeki Kh için yapısal uzaklık 3500m, n_e için ise 2500m civarındadır (Şekil 4b ve 5b). Kh ve n_e için oluşturulan variogram modeli üç boyutlu anizotropik bir küresel modeldir. Kh ve n_e model parametreleri sırasıyla Çizelge 2'de verilmiştir.



Şekil 4. Kh için deneysel ve model variogramlar:
a) Düşey yönde, b) Yatay yönde

Figure 4. The experimental variograms and variogram models for Kh. a) Vertical direction
b) Horizontal direction



Şekil 5. n_e için deneyel ve model variogramlar: a) Düşey yönde, b) Yatay yönde

Figure 5. The experimental variograms and variogram models for n_e . a) Vertical direction
b) Horizontal direction

Çizelge 2. Kh ve n_e için variogram model parametreleri.

Table 2. Model variogram parameters for Kh and n_e .

Parametre	Kh Düşey	Kh Yatay	n_e Düşey	n_e Yatay
C	3.25	3.25	0.004	0.004
C_0	1	1	0.003	0.003
a	20	3500	20	2500

Çapraz Doğrulama

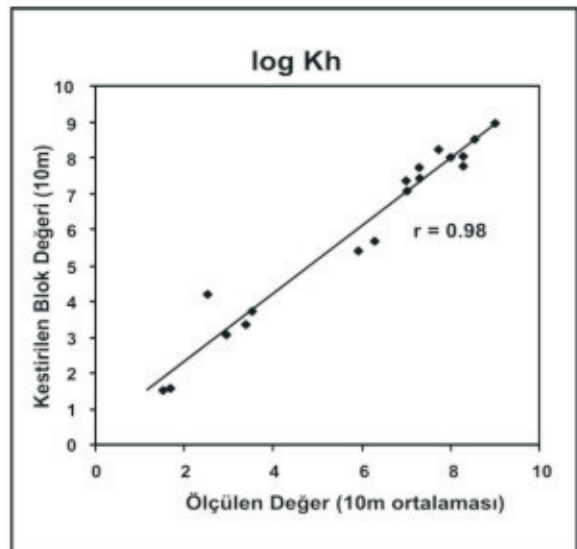
Veri seti ile oluşturulan variogram model parametrelerinin doğruluğunun (geçerliliğinin) belirlenmesi için çapraz doğrulama yöntemi kullanılmıştır. Bu yöntemde veri seti ile modelin uyumu kontrol edilmektedir (ASTM 1996; Ouyang vd., 2003). Bu amaçla, her örnek veri setinden uzaklaştırılarak kriging ile kestirim

yapılmakta, iyi bir uyum için gerçek değerler ve kestirilen değerler arasındaki farkların sıfır ortalamaya ve minimum varyanslı simetrik bir yapıya sahip olması gerekmektedir (Tercan ve Sarac, 1998). Bu çalışma için Kh ve n_e kestirimlerinin çapraz doğrulama işlemine ilişkin sonuçlar Çizelge 3'te verilmiştir. Ayrıca, 194 sondaj arasından rastgele seçilen 20 sondajın 0 ve -10m seviyeleri arasında 1x1x10m boyutundaki blokları için kestirilen değerleri ile bunlara karşılık gelen ölçülen değerler arasında da oldukça yüksek bir uyum bulunduğu gözlenmiştir (Şekil 6 ve 7).

Çizelge 3. Kh ve n_e için çapraz doğrulama sonuçları

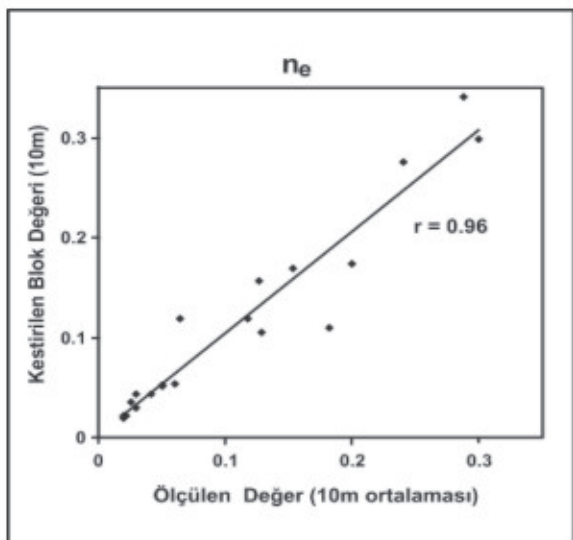
Table 3. Cross validation results for Kh and n_e

	Kh	n_e
Kestirim sayısı	19303	19303
Ort (z^*-z)	-0.0015	0.00005
Ort ($ z^*-z $)	0.597	0.024
Ort($(z^*-z)^2$)	1.009	0.0018
Ort(σ_k^2)	0.369	0.00084
Ort($[(z^*-z)/\sigma_k]$)	0.00086	0.0155
Ort($[(z^*-z)/\sigma_k]^2$)	0.330	2.0146
$\Sigma z^*-z $	11536	459.99



Şekil 6. Kh için ölçülen ve kestirilen değerler arasındaki ilişki.

Figure 6. Relation between measured and estimated Kh values

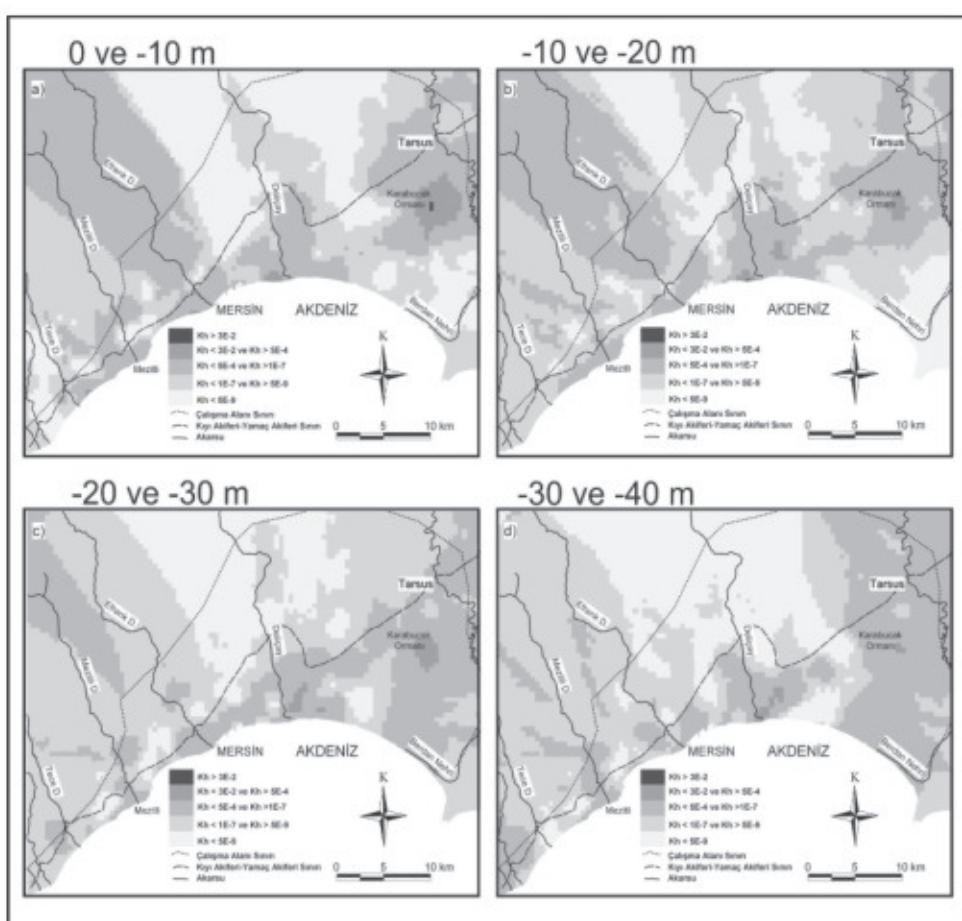


Şekil 7. n_e için ölçülen ve kestirilen değerler arasındaki ilişki

Figure 7. Relation between measured and estimated n_e values.

ÜÇ BOYUTLU KRİGİNG ANALİZİ

Kh ve n_e dağılım modellerinin güvenilirliğinin belirlenmesinden sonra, bu parametrelerin inceleme alanındaki üç boyutlu dağılımı blok kriging yöntemi ile belirlenmiştir. Bu amaçla, inceleme alanı x ekseni boyunca 500 metrelük 98, y ekseni boyunca 500 metrelük 80 grid içeren ve z yönünde 0 ve -40 m derinlikleri arasında 10'ar metrelük 4 katmanın bulunduğu bloklara ayrılmıştır. Ön hesaplamalar sırasında, 1, 10, 25 ve 50 m kalınlıkları için yapılan kestirimlerden ölçülen değerlere en yakın olanların 10m'lik blok kalınlığı için elde edildiği belirlenmiştir. Bu kalınlık değeri aynı zamanda litoloji loglarında gözlenen ortalama birim kalınlığına karşılık gelmektedir. Kestirilen değerler MapInfo (1998) yazılımı ile coğrafi haritalara dönüştürülmüş olup, Kh ve n_e için oluşturulan haritalar birbirine benzer olduğundan Şekil 8'de sadece Kh haritası sunulmuştur.



Şekil 8. Kriging kestirimi ile farklı derinlikler için belirlenen Kh dağılımı: a) 0 ve -10 m, b) -10 ve -20 m, c) -20 ve -30 m, d) -30 ve -40 m.
Figure 8. Kh distribution maps for different depths determined from kriging estimation. a) 0 ve -10 m, b) -10 ve -20 m, c) -20 ve -30 m, d) -30 ve -40 m.

SONUÇLAR VE TARTIŞMA

Bu çalışmada yeraltısu verimliliğinin değerlendirilmesi açısından en önemli parametreler olan Kh ve n_e 'nin dağılıminin belirlenmesi amacıyla jeostatistik yöntemler kullanılmıştır. Bölgede açılan kuyuların loglarından belirlenen litolojilere karşılık gelen Kh ve n_e değerleri ile x , y , z , Kh ve x , y , z , n_e veri setleri oluşturulmuştur. Bu veri setleri kullanılarak variogram analizi ve blok kriging yöntemleri ile kestirim yapılmıştır. Elde edilen kestirim sonuçları blok kriging yönteminin deltakiy়ı ovası gibi karmaşık çökel ortamlarında da jeohidrolojik parametre kestiriminde başarılı sonuçlar verebileceğini göstermektedir. Ayrıca bu çalışma sonuçları bölgeye ait yeraltısu akım modelinin oluşturulmasında kullanılabilcek yapıdadır. Sonuçların alansal dağılımı incelendiğinde Kh ve n_e 'nin yüksek değer ve en geniş yayılım alanına sahip olduğu bölgenin Tarsus'un güney kesiminde, Karabucak Ormanı çevresindeki 0 ve -10m seviyeleri arasındaki alan olduğu anlaşılmaktadır. Bu bölgede alt katmanlarda gözlenen verimlilik üst seviyeye oranla azalmaktadır. Deliçay'ın kıyıya yakın kesimi, Mersin ve Mezitli çevresi 0 ve -40 m seviyeleri arasında yüksek Kh ve n_e değerlerine sahiptir. Mevcut kuyu verimleri açısından da bu bölgeler en verimli alanlardır. Tarsus'un batı ve kuzeybatısı ile Deliçay ve Efrenk Dereleri arasında Kh ve n_e en düşük değerleri almaktadır. Berdan Nehri'nin kıyıya yakın kesiminde 0 ve -20m arasındaki derinlik aralığı da yeraltısu üretimi açısından verimin düşük olduğu bir diğer bölgedir. Bu bölgede -20 ve -40m arasında Kh ve n_e değerleri üst katmanlara göre artış göstermektedir.

KATKI BELİRTME

Yazarlar bu çalışmanın yürütülmesindeki öneri ve katkılarından dolayı H.Ü. Maden Mühendisliği Bölümünden Prof.Dr. Erhan Tercan, Araştırma Görevlileri Bülent Tütmez ve Elif Akcan'a teşekkür ederler. Çalışmaya Hacettepe Üniversitesi ve Mersin Üniversitesi Araştırma Fonlarında maddi destek sağlanmıştır.

DEĞİNİLEN BELGELER

- ASTM (American Society for Testing and Materials), 1996. Standard Guide for the Concepts of Geostatistical Site Investigation Report. D5549-94, Philadelphia, Pensilvania.
- Deutsch, C.V. ve Journal A.G., 1998. Geostatistical Software Library and Users Guide. Oxford University Press, New York, 369 s.
- Domenico P.A. ve Schwartz, F.W., 1997. Physical and Chemical Hydrogeology, 2nd Edition. John Wiley & Sons, New York, 640 s.
- Hatipoğlu, Z., 2004. Mersin-Tarsus kıyı akiferinin hidrojeokimyası. Hacettepe Üniversitesi Fen Bilimleri Enstitüsü, Ankara, Doktora Tezi, 142 s (yayınlanmamış).
- Marsily, G., 1986. Quantative Hydrogeology. Academic Press, London, 440 s.
- MapInfo Corporartion, 1998. MapInfo Professional 5.5 software package, New York.
- Ouyang, Y., Higman, J., Campbell D. ve Davis, J., 2003. Three-dimensional kriging analysis of sediment mercury distribution: a case study. Jounal of the American Water Resources Association, 39(3), 689-702.
- Reineck, H.E. ve Singh, I.B., 1973. Depositional Sedimentary Environments. Springer-Verlag, 439 s.
- Spitz, K. ve Moreno J., 1996. A Practical Guide To Groundwater And Solute Transport Modeling. John Wiley & Sons, 461 S.
- Şenol, M., Şahin, Ş. ve Duman T.Y., 1998, Adana-Mersin dolayının jeoloji etüd raporu. MTA, Ankara, 46 s. (yayınlanmamış).
- Tercan, 1996. Maden yatakları sınır belirsizliğinin "indicator kriging" ile değerlendirilmesi ve Sivas-Kangal-Kalburçayı kömür yatağında bir uygulama. Madencilik, Cilt: 35(4), 3-11.
- Tercan, A.E. ve Sarac, C., 1998. Maden Yataklarının Değerlendirilmesinde Jeostatistik Yöntemler. TMMOB, Jeoloji Mühendisleri Odası Yayınları: 48 Ankara 137 s.